

ФИЗИКО-ХИМИЧЕСКИЙ АНАЛИЗ
НЕОРГАНИЧЕСКИХ СИСТЕМ

УДК 544.344.015.3

КОРРЕКЦИЯ КОМПЬЮТЕРНОЙ 3D-МОДЕЛИ ФАЗОВОЙ
ДИАГРАММЫ СИСТЕМЫ $\text{LiCl}-\text{PrCl}_3-\text{KCl}$ ПО ТЕРМОГРАММАМ

© 2023 г. В. П. Воробьева^a, *, А. Э. Зеленая^a, В. И. Луцый^a, М. Д. Парфенова^a, В. Д. Балданов^a

^aИнститут физического материаловедения СО РАН, ул. Сахьяновой, 6, Улан-Удэ, 670047 Россия

*e-mail: vvorobjeva@mail.ru

Поступила в редакцию 31.03.2023 г.

После доработки 18.04.2023 г.

Принята к публикации 19.04.2023 г.

Построена трехмерная (3D) компьютерная модель изобарной фазовой диаграммы системы $\text{LiCl}-\text{PrCl}_3-\text{KCl}$. Она собрана из 66 поверхностей и 27 фазовых областей, из них 31 поверхность и 14 фазовых областей вследствие ограниченной растворимости исходных хлоридов и их соединений вырождены в вертикали и вертикальные плоскости. Для улучшения качества 3D-модели использованы опубликованные экспериментальные изотермические разрезы и термограммы 33 солевых смесей. Полученные результаты можно использовать при совершенствовании технологии расплавно-солевого рафинирования отходов ядерного топлива.

Ключевые слова: фазовая диаграмма, компьютерное моделирование, трехмерная визуализация, хлорид лития, хлорид празеодима, хлорид калия

DOI: 10.31857/S0044457X23600524, **EDN:** HXWIDM

ВВЕДЕНИЕ

Система $\text{LiCl}-\text{KCl}$ хорошо известна. В одной из последних статей [1], посвященных этой системе, дан краткий обзор по истории ее изучения с цитатами из работ [2–8], уточняющими экспериментальные результаты по линиям ликвидуса, составу и температуре эвтектики, а также по температурам плавления исходных хлоридов.

Система $\text{LiCl}-\text{KCl}$ простая эвтектическая, и практический интерес к ней вызван прежде всего тем, что ее эвтектика – это низкотемпературный (625 K) маловязкий электролит состава 58.2 мол. % LiCl . Однако в последнее время расплавы этой системы привлекают все большее внимание с целью их практического применения при рафинировании металлов [9, 10], когда расплавленная эвтектика $\text{LiCl}-\text{KCl}$ используется в качестве жидкой электролитной среды при пирохимической переработке отработанного ядерного топлива [11] для отделения топливных материалов от продуктов деления электрорафинированием [12–17].

Отработанное металлическое топливо включает преимущественно актиниды, редкоземельные элементы, благородные металлы, щелочные и щелочноземельные элементы. Поскольку одним из главных элементов продуктов деления является празеодим, очевидна необходимость изучения взаимодействия PrCl_3 в среде $\text{LiCl}-\text{KCl}$, фазовых превращений в тройной системе $\text{LiCl}-\text{PrCl}_3-\text{KCl}$.

Целью настоящей работы является подробное исследование всех фазовых превращений в системе $\text{LiCl}-\text{PrCl}_3-\text{KCl}$, построение на основе этого исследования трехмерной (3D) компьютерной модели изобарной фазовой диаграммы и проверка модели путем сравнения с опубликованными экспериментальными разрезами и температур термических эффектов при кристаллизации расплавов со значениями функций отклика, полученными для 3D-модели.

ТРОЙНАЯ СИСТЕМА $\text{LiCl}-\text{PrCl}_3-\text{KCl}$
И ФОРМИРУЮЩИЕ ЕЕ БИНАРНЫЕ
СИСТЕМЫ

Система $\text{LiCl}-\text{PrCl}_3$, как и $\text{LiCl}-\text{KCl}$, также простая эвтектическая с температурой плавления эвтектики $464 \pm 1^\circ\text{C}$ и эвтектическим составом 69.3 мол. % LiCl [18]. В работах [19, 20] температуры ликвидуса на ~ 30 – 40°C ниже по ветке PrCl_3 . В [21] проведена термодинамическая оптимизация данных [19, 20], которая привела к температуре 466°C и эвтектическому составу 70 мол. % LiCl .

Особо стоит остановиться на работе [22], итоги которой кратко изложены в статье [23], где описаны результаты как подробного экспериментального изучения тройной системы $\text{LiCl}-\text{PrCl}_3-\text{KCl}$, так и перепроверки формирующих ее двойных систем. В этих работах данные по системе $\text{LiCl}-\text{KCl}$ совпадают с [1], а для системы $\text{LiCl}-\text{PrCl}_3$ коор-

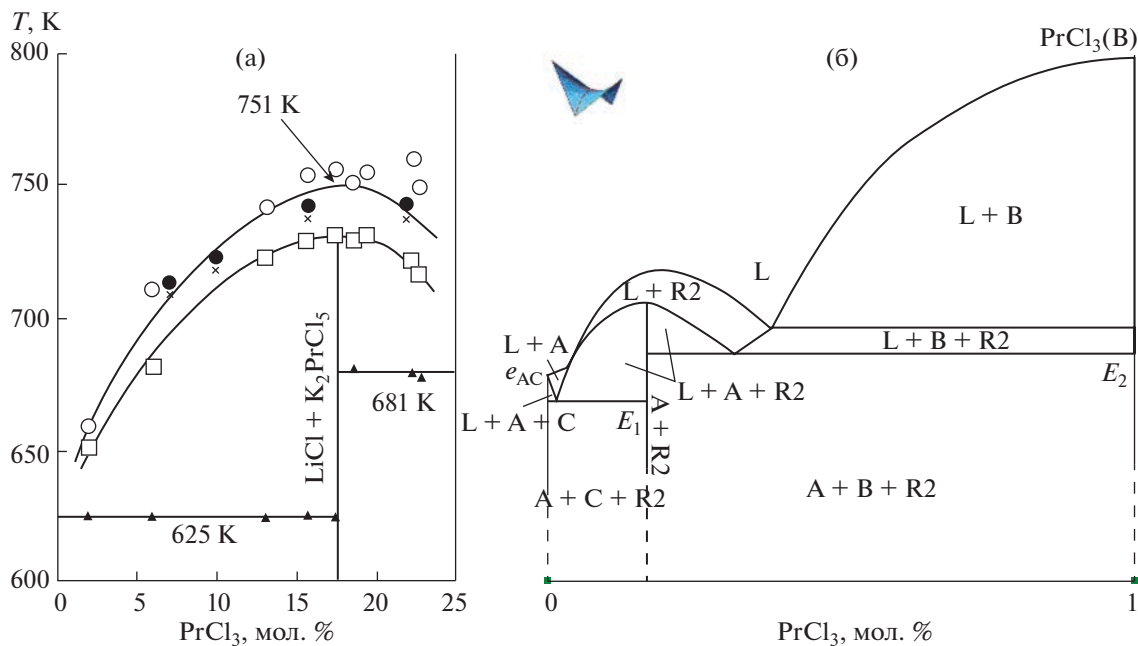


Рис. 1. Политермический разрез e_{AC} – PrCl_3 (B): фрагмент 0–0.25 мол. % PrCl_3 [27] (а), 3D-модель (б).

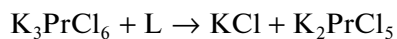
динатам эвтектики соответствуют значения 464°C (737 K) и 31 мол. % LiCl.

Что касается системы PrCl_3 – KCl , то в [22, 23] говорится, что автор смог найти по ней только две публикации: [24] и [25]. В этой системе образуются два соединения: K_3PrCl_6 и K_2PrCl_5 . Одно из них – K_3PrCl_6 – плавится конгруэнтно и стабильно выше 489°C (762 K). Оно вступает в эвтектическую реакцию с KCl при 613°C (886 K) и содержании 16.5 мол. % PrCl_3 . С другой стороны, это соединение участвует в перитектической реакции образования инконгруэнтно плавящегося соединения K_2PrCl_5 с координатами перитектики 617°C (890 K) и 34.5 мол. % PrCl_3 . Кроме того, соединение K_2PrCl_5 вместе с PrCl_3 является продуктом эвтектической реакции при 499°C (772 K) и составе эвтектики 56 мол. % PrCl_3 .

Следует отметить, что в [26] на основании исследований методом дифференциальной сканирующей калориметрии приведена температура разложения K_3PrCl_6 , равная 495°C (768 K), а не 489°C (762 K), и температура его конгруэнтного плавления 671°C (944 K).

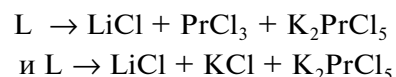
Авторы [22, 23] сообщают, что литературных данных по тройной системе LiCl – PrCl_3 – KCl до начала их исследований им удалось найти совсем немного, лишь в работе [27] был показан фрагмент (до 25 мол. % PrCl_3) политермического разреза, соединяющего эвтектику LiCl – KCl с PrCl_3 (рис. 1а). Последующее экспериментальное изучение тройной системы авторами [22, 23] позволило определить координаты трех тройных нон-

вариантных точек и точки Ван Рейна на частично квазибинарном разрезе, сам этот разрез, проекцию пяти поверхностей ликвидуса с нанесенными на них линиями уровня и четыре изотермических разреза при 673, 723, 773, 873 K. Установлено, что разложение соединения K_3PrCl_6 по реакции:



в тройной системе происходит при той же температуре 489°C (762 K), что и в двойной системе: $\text{K}_3\text{PrCl}_6 \rightarrow \text{KCl} + \text{K}_2\text{PrCl}_5$, и составе расплава 22.3 мол. % LiCl, 12.7 мол. % PrCl_3 , 65 мол. % KCl.

При более низких температурах – 381°C (654 K) и 318°C (591 K) – имеют место два эвтектических превращения:



с координатами эвтектик 46.8 мол. % LiCl, 31.7 мол. % PrCl_3 , 21.5 мол. % KCl и 55.1 мол. % LiCl, 1.8 мол. % PrCl_3 , 43.1 мол. % KCl соответственно.

ПОСТРОЕНИЕ КОМПЬЮТЕРНОЙ 3D-МОДЕЛИ ФАЗОВОЙ ДИАГРАММЫ СИСТЕМЫ LiCl – PrCl_3 – KCl

Моделирование фазовой диаграммы начинается с температурного ряда (в направлении его понижения) и со схемы моно- и нонвариантных состояний – схемы фазовых реакций Шейла, в которой всем трехфазным реакциям приписываются траектории изменения состава их участников

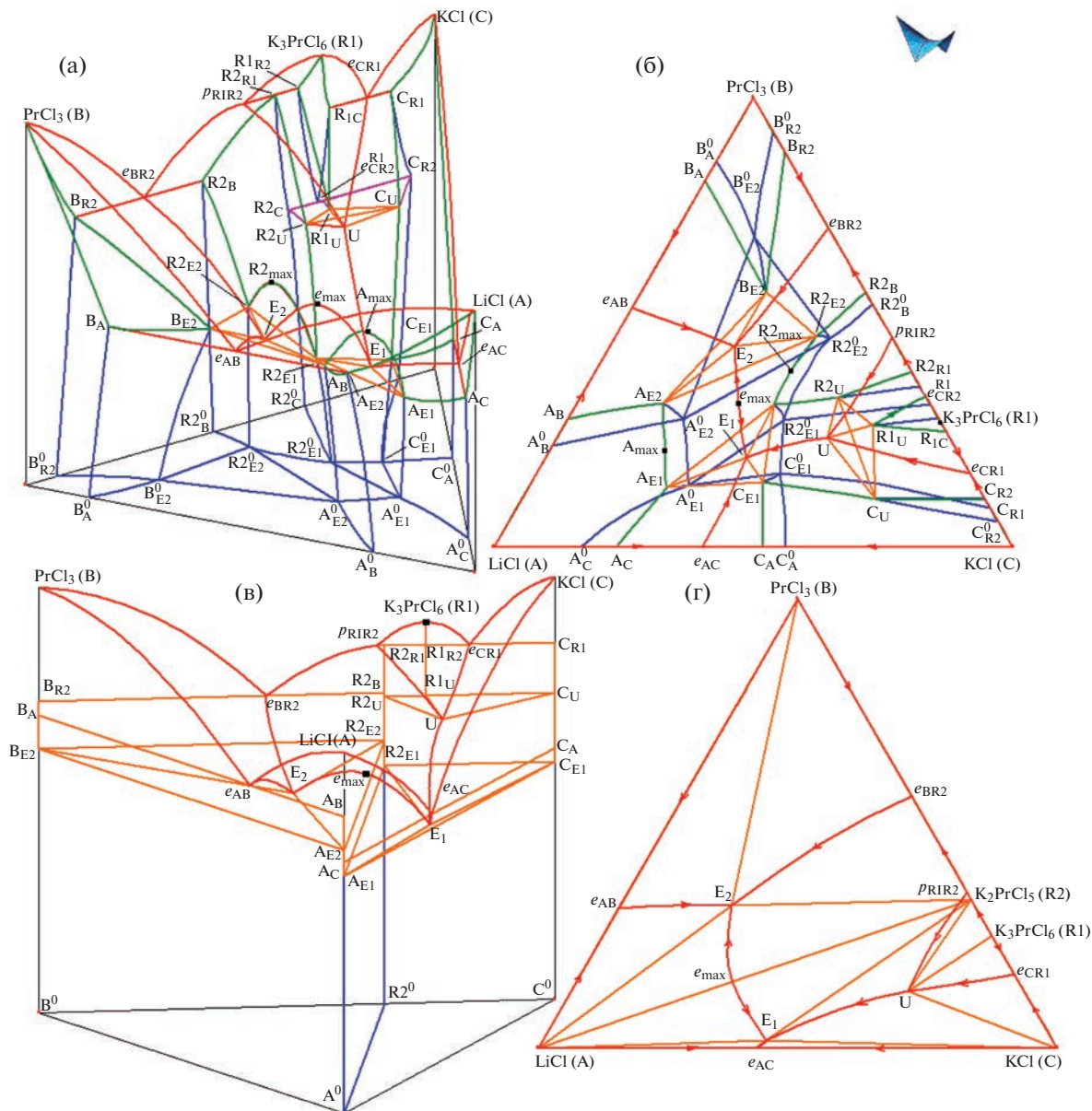


Рис. 2. Прототип фазовой диаграммы системы $\text{LiCl}-\text{PrCl}_3-\text{KCl}$ (A–B–C): T–x–y– (а) и x–y–проекции (б); 3D-модель фазовой диаграммы системы $\text{LiCl}-\text{PrCl}_3-\text{KCl}$ (A–B–C): T–x–y– (в) и x–y–проекции (г).

[28, 29]. У системы $\text{LiCl}-\text{PrCl}_3-\text{KCl}$ ¹ эта схема проста: всего три нонвариантных превращения (и четвертое – эвтектика на частично квазибинарном разрезе $\text{LiCl}-\text{K}_2\text{PrCl}_5$), два из которых эвтектические, а третье, согласно [23], “псевдоперитектическое”.

¹ 3D-моделирование осуществляется в программной среде PD Designer (Phase Diagram Designer) [30], которая требует переобозначения исходных хлоридов LiCl , PrCl_3 , KCl буквами A, B, C, а их соединений K_3PrCl_6 и K_2PrCl_5 – соответственно буквами R1 и R2. Таким образом, замены приводят к обозначениям соответствующих элементов диаграммы, например, эвтектика в системе A–B ($\text{LiCl}-\text{PrCl}_3$) записывается как e_{AB} , а выделяющиеся из нее твердые фазы – как A_B и B_A (рис. 2).

В научном сообществе, занимающемся фазовыми диаграммами, до сих пор не принята единая классификация для обозначения фазовых превращений. В монографии [31] четырехфазные нонвариантные превращения в тройных системах различаются как эвтектические (эвтектоидные) – E, а также квазиперитектические (квазиперитектоидные) и перитектические (перитектоидные) – P. В работе [32] их аналогами являются четырехфазные равновесия I, II и III классов. Однако и в [32] эвтектические реакции обозначаются буквой E, а перитектические и все остальные – буквой P. В публикациях, так или иначе связанных с расчетами по CALPHAD технологии, кроме эвтектиче-

ских (E) и перитектических (P), все остальные нонвариантные фазовые превращения обозначаются буквой U.

На наш взгляд, при классификации нонвариантных превращений нужно учитывать характер каждого четырехфазного превращения. Так, согласно классическим монографиям [31, 32], нонвариантные превращения

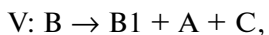


являются соответственно эвтектическими, квазиперитектическими и перитектическими. Поэтому точки, отвечающие составам расплава, стоит обозначать буквами E, Q и P, а составам сопряженных с ними твердых фаз приписывать тот же нижний индекс.

Что касается полиморфных переходов, то следует подчеркнуть пассивную роль расплава L, который находится не в левой, а в правой части уравнения и не является реагентом фазовых реакций:

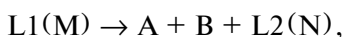


в которых происходит перестройка кристаллической структуры высокотемпературной модификации B в кристаллическую структуру низкотемпературной модификации B1. Поэтому и точки, отвечающие составу расплава, предлагаются обозначать буквами V и W. Для аналогичных эвтектоидных, квазиперитектоидных и перитектоидных превращений:



вершины симплексов достаточно отмечать соответствующим нижним индексом (например, B_W и B_{1W}).

При монотектическом и синтетическом расчленении:



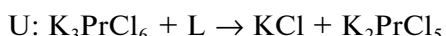
составы жидкостей L1 и L2 можно отмечать парами M–N и S–O, оставив для твердых фаз нижние индексы M и S.

Чтобы подчеркнуть пассивную роль расплава L в реакциях:



при разложении (образовании) промежуточной фазы R, можно воспользоваться буквами Y и U.

Возвращаясь к рассматриваемой хлоридной системе, реакцию



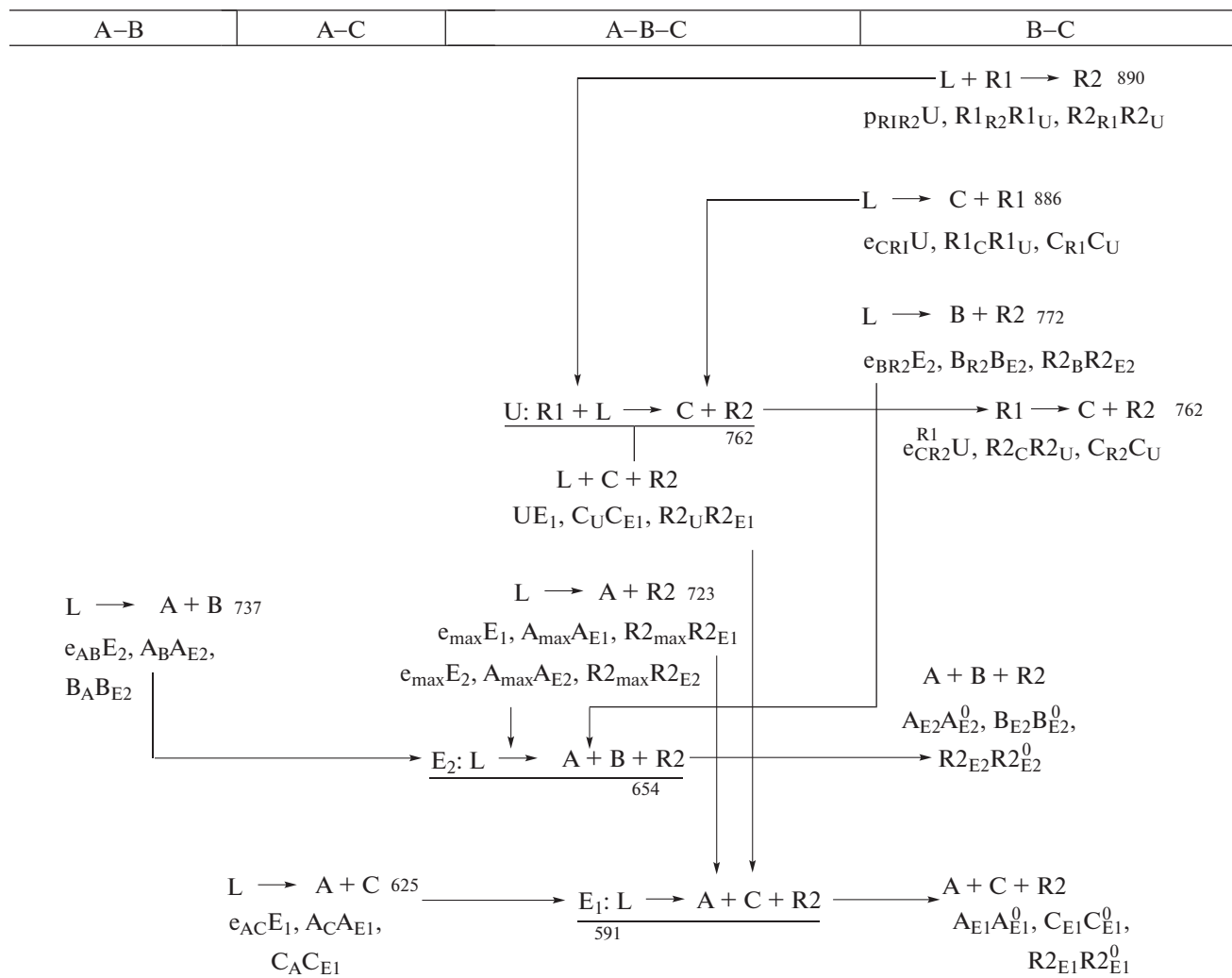
в [23] называют псевдоперитектической и обозначают буквой P. Необходимо отметить, что на самом деле эта реакция описывает разложение соединения K₃PrCl₆ (R1) на KCl (C) и K₂PrCl₅ (R2) при пассивной роли расплава L. Этот факт стоит подчеркнуть, обозначив как саму реакцию (табл. 1), так и точку на фазовой диаграмме, соответствующую составу расплава, буквой U (рис. 2).

Разложение соединения K₃PrCl₆ (R1) как в бинарной системе PrCl₃–KCl (B–C), так и в тройной системе LiCl–PrCl₃–KCl (A–B–C) происходит при одной и той же температуре 762 K, а четырехфазный комплекс UR2_UR1_UC_U вырождается в треугольник, поскольку точка R1_U принадлежит отрезку R2_UC_U. Однако формально эта реакция все же не является псевдоперитектической (квазиперитектической). Как уже говорилось, при температуре T_U происходит твердофазное разложение R1 + L → C + R2 промежуточной фазы R1 при индифферентной жидкой фазе L на C и R2, которые затем в интервале температур T_U–T_{E1} продолжают выделяться по эвтектической реакции L → C + R2 (рис. 2). Промежуточная фаза R1 с нижней температурой существования T_U “по принятой в термодинамике классификации относится к эндотермическим соединениям” [33, с. 93, 218].

Схема моно- и нонвариантных состояний переводится из двумерной табличной формы (табл. 1) в трехмерную пространственную форму и далее трансформируется в прототип конструируемой фазовой диаграммы [29]. Сначала строятся три плоскости, соответствующие нонвариантным превращениям U, E₁, E₂ (считаем их как 12 плоскостей, т.е. три комплекса, каждый из которых разбивается на четыре симплекса). К ним подводятся прямые линии (траектории фаз), связывающие соответствующие нонвариантные бинарные и тройные точки, например, e_{AB} с E₂, A_B с A_{E2}, B_A с B_{E2} (рис. 2a). Так формируется эскиз линейчатых поверхностей; всего, как видно из схемы моно- и нонвариантных состояний (табл. 1), десять триад, в границах которых будут заключены семь трехфазных областей с расплавом (L + A + B, L + A + C, L + A + R2, L + B + R2, L + C + R1, L + C + R2, L + R1 + R2) и три – без расплава (A + B + R2, A + C + R2, C + R1 + R2). Далее на полученный каркас достраиваются нелинейчатые поверхности: по пять поверхностей ликвидуса и солидуса, а также семь пар поверхностей сольвуса на границах двухфазных областей без расплава.

Сборка всех перечисленных 66 поверхностей (или 27 фазовых областей) дает прототип фазовой диаграммы (рис. 2a, 2б). После перемещения базовых точек в соответствии с координатами ре-

Таблица 1. Схемаmono- и nonвариантных состояний системы $\text{LiCl}-\text{PrCl}_3-\text{KCl}$ ($\text{A}-\text{B}-\text{C}$) с бинарными соединениями K_3PrCl_6 ($\text{R}1$), K_2PrCl_5 ($\text{R}2$) и температурным рядом $\text{B}(\text{PrCl}_3) = 1055 > \text{C}(\text{KCl}) = 1047 > \text{R}1(\text{K}_3\text{PrCl}_6) = 945 > \text{p}_{\text{R}1\text{R}2} = 890 > \text{e}_{\text{CR}1} = 886 > \text{A}(\text{LiCl}) = 879 > \text{e}_{\text{BR}2} = 772 > \text{e}_{\text{CR}2}^{\text{R}1} = \text{U} = 762 > \text{e}_{\text{AB}} = 737 > \text{e}_{\text{max}} = 723 > \text{E}_2 = 654 > \text{e}_{\text{AC}} = 625 > \text{E}_1 = 591$



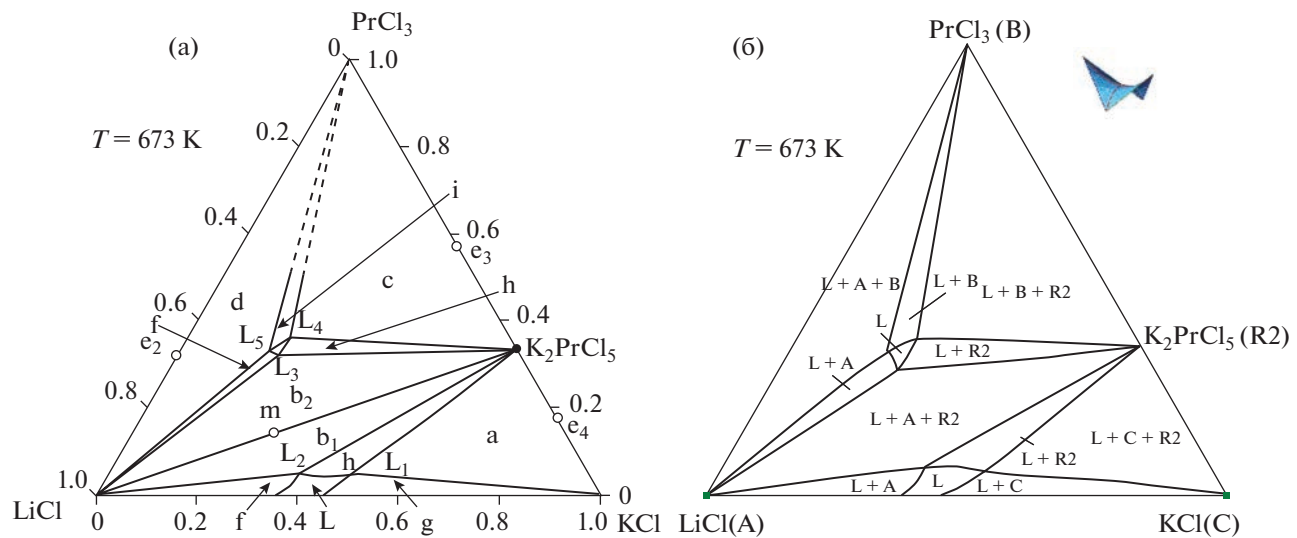
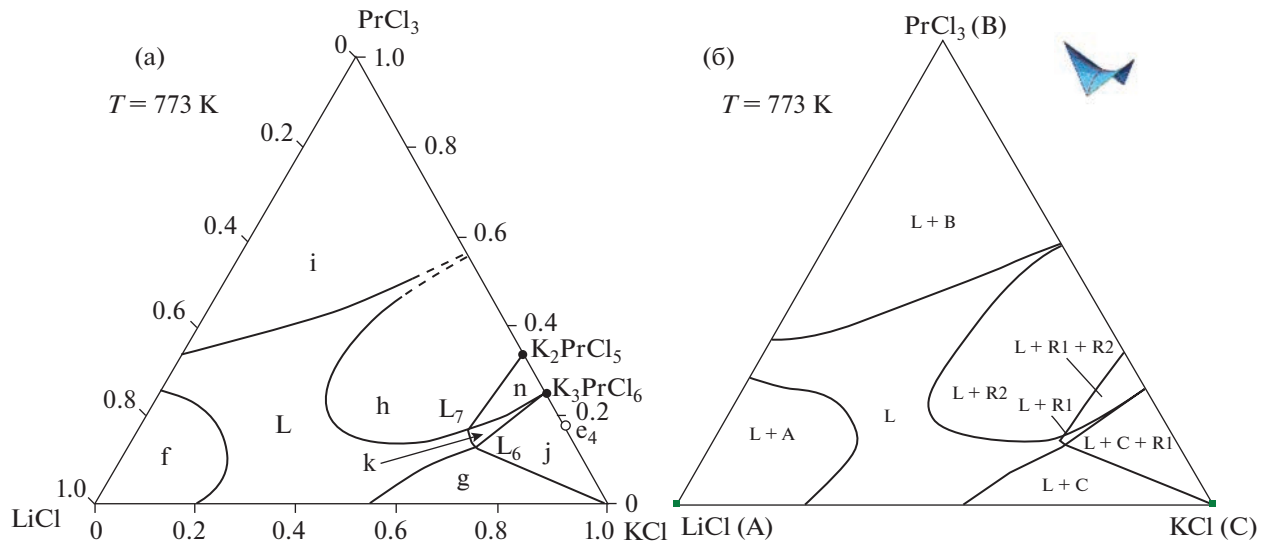
альной системы получаем 3D-модель фазовой диаграммы реальной системы (рис. 2в, 2г). При этом все поверхности солидуса и сольвуса вырождаются либо в ребра тригональной призмы, либо в отрезки ортогоналей, проведенных из точек, соответствующих соединениям $\text{R}1$ и $\text{R}2$ постоянного состава. Из линейчатых поверхностей 13 сливаются с гранями призмы, а три — с вертикальной плоскостью, восстановленной на отрезке, связывающей точки $\text{A}^0\text{R}2^0$ (рис. 2в, 2г).

Соответственно из 27 фазовых областей пять однофазных областей сливаются с осями тригональной призмы или вертикалями, связанными с двумя стехиометрическими соединениями, семь двухфазных областей (без расплава) вырождают-ся в вертикальные плоскости — грани призмы либо

в плоскость на отрезке $\text{A}^0\text{R}2^0$. Область $\text{C} + \text{R}1 + \text{R}2$ вырождается в отрезок $\text{C}_\text{U}\text{R}_2\text{U}$ вследствие равенства температур разложения $\text{R}1$ в бинарной и тройной системах (рис. 2в).

РЕЗУЛЬТАТЫ И ОБСУЖДЕНИЕ

Дальнейшее совершенствование модели связано с корректировкой кривизны линий и поверхностей. Обычно для оценки качества модели используют экспериментальные разрезы. И в случае с данной системой сравнение опубликованных изотермических разрезов с модельными говорит о приемлемом качестве модели (рис. 3–5). 3D-модель позволяет также строить любые полигонометрические разрезы, например разрез из эвтек-

Рис. 3. Изотермический разрез $T_{\text{E}2} < 673 \text{ K} < T_{\text{emax}}$: [23] (а), 3D-модель (б).Рис. 4. Изотермический разрез $T_{\text{eBR}2} < 773 \text{ K} \ll T_A$: [23] (а), 3D-модель (б).

тиki $\text{LiCl}-\text{KCl}$ в PrCl_3 ($e_{\text{AC}}-\text{B}$), не ограничиваясь фрагментом (рис. 1б).

Поскольку в работах [22, 23] для системы $\text{LiCl}-\text{PrCl}_3-\text{KCl}$ опубликованы термограммы 33 кристаллизующихся смесей, нельзя не воспользоваться этими данными как для оценки качества 3D-модели фазовой диаграммы этой системы, так и для ее улучшения. В программе PD Designer, с помощью которой строятся 3D-модели [30], есть опция расчета функций отклика ко всем поверхностям, пересекаемым вертикалью, восстановленной в точке любого заданного сплава с обозначением температур всех пересекаемых поверхностей (рис. 6). Так, в точке, которой в работе

[23] присвоен номер 6 (рис. 6е), в 3D-модели фазовой диаграммы первичная кристаллизация начинается при температуре 920 К на поверхности ликвидуса С (KCl) и заканчивается при 732 К, что совпадает с началом вторичной (совместно с R₂) кристаллизации, по окончании которой следует нонвариантное эвтектическое превращение E1 при 591 К (рис. 6б). Кривая ДТА сплава 6 [23] (рис. 6а) показывает соответствующие температуры 915, 737 и 591 К (табл. 2).

Аналогичное сравнение температур дает как удовлетворительные результаты (наилучшие для образца 33, рис. 6в; табл. 2), так и с очень большим расхождением, например в расплавах 7, 16 и 27.

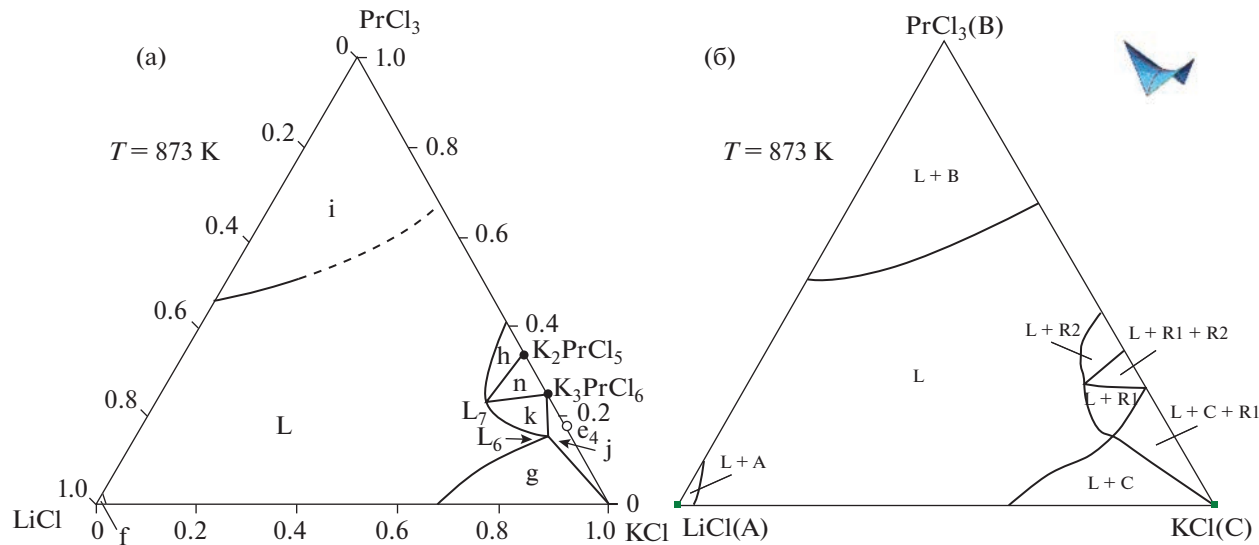


Рис. 5. Изотермический разрез $T_{\text{eBR}2} \ll 873 \text{ K} < T_A$: [23] (а), 3D-модель (б).

Необходимо отметить, что для сплава 21 в [23] вместо температуры начала вторичной кристаллизации $L + R1 + R2$ стоит прочерк (табл. 2), и можно предположить, что после первичного выделения $R1$ сразу начинается его разложение по реакции U . Однако это не так, потому что между по-

верхностью ликвидуса $R1$ и плоскостью U находится линейчатая поверхность, задаваемая направляющими линиями $r_{R1R2}U$ и $R1R2R1_U$ (рис. 6г).

Точка 3 в 3D-модели лежит практически на линии E_1e_{\max} (рис. 6е), поэтому значения двух температур (начала первичной и вторичной кри-

Таблица 2. Температуры термических эффектов при кристаллизации расплавов [23] по сравнению со значениями функций отклика, полученными при помощи 3D-модели (рис. 5)

№*	Составы точек, мол. %			Температуры на границах фазовых областей, К		Пересекаемые фазовые области и плоскости
	LiCl	PrCl_3	KCl	[23]	3D-модель	
6	0.2	0.05	0.75	915, 737, 591	920, 732, 591	$L + C, L + C + R2, E_1$
7	0.10	0.10	0.80	931, 803, 763, 592	919, 850, 762, 591	$L + C, L + C + R1, U, E_1$
21	0.10	0.20	0.70	882, —, 762, 593	884, 781, 762, 591	$L + R1, L + R1 + R2, U, E_1$
1	0.75	0.05	0.20	793, 709, 590	786, 701, 591	$L + A, L + A + R2, E_1$
2	0.65	0.05	0.30	733, 697, 590	740, 680, 591	$L + A, L + A + R2, E_1$
3	0.556	0.050	0.394	675, 626, 591	665, 664, 591	$L + R2, L + A + R2, E_1$
19	0.30	0.20	0.50	811, 706, 593	826, 700, 591	$L + R2, L + A + R2, E_1$
14	0.80	0.10	0.10	822, 709, 660	814, 684, 654	$L + A, L + A + R2, E_2$
16	0.60	0.20	0.20	750, 706, 658	783, 776, 654	$L + A, L + A + R2, E_2$
24	0.30	0.30	0.40	793, 698, 653	811, 667, 654	$L + R2, L + A + R2, E_2$
27	0.60	0.30	0.10	724, 713, 654	748, 717, 654	$L + A, L + A + B, E_2$
33	0.40	0.50	0.10	883, 704, 647	883, 703, 654	$L + B, L + A + B, E_2$
31	0.20	0.50	0.30	807, 721, 651	788, 727, 654	$L + B, L + B + R2, E_2$

* Номер состава, принятый в [22, 23].

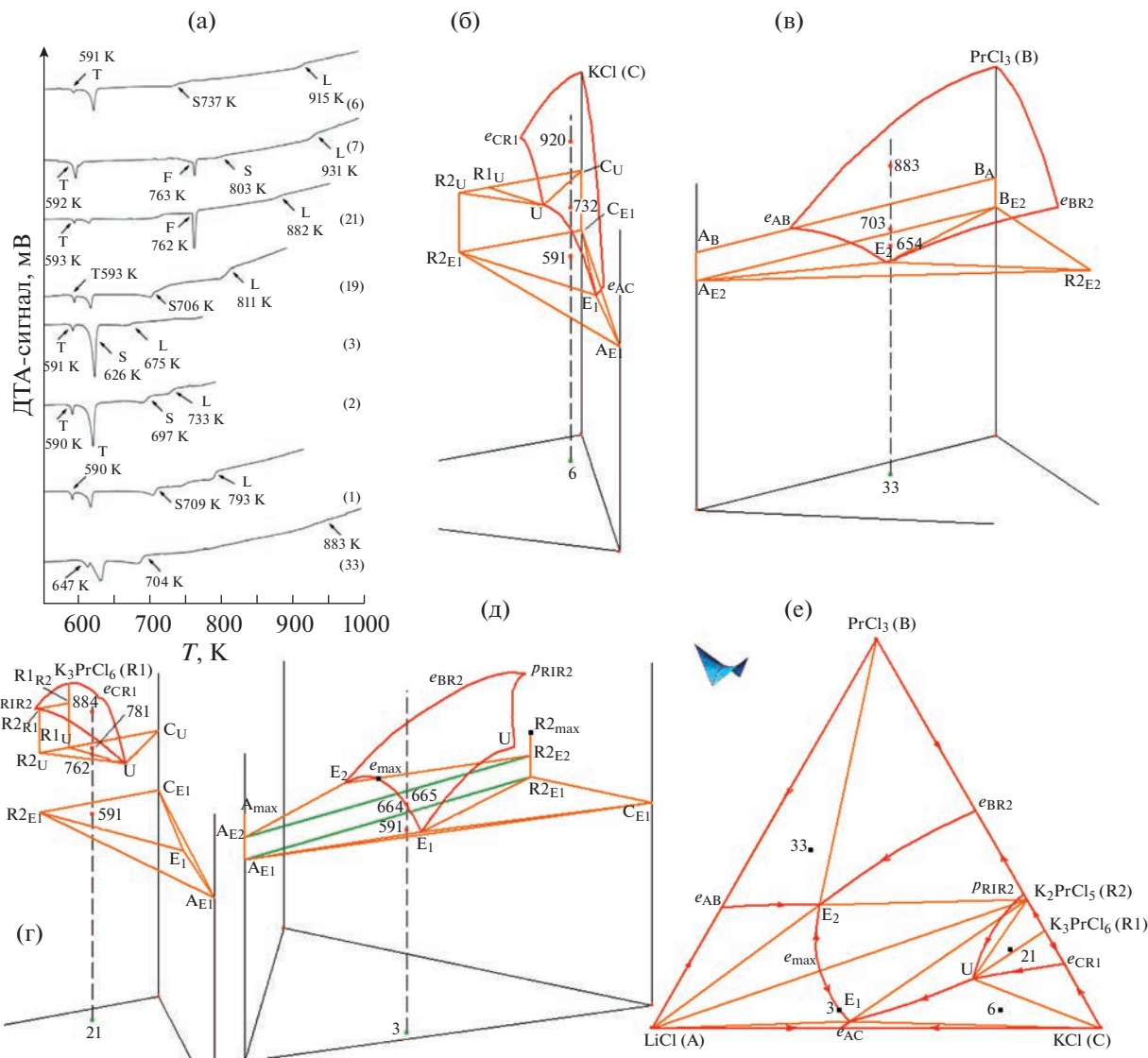


Рис. 6. Термограммы для тройных расплавов под номерами 6, 7, 21, 19, 3, 2, 1, 33 [23] (L – температура начала первичной, S – вторичной кристаллизации, T – температура тройной эвтектики, F – температура образования соединения K₂PrCl₅ (R2) в результате разложения K₃PrCl₆ (R1), т.е. температура нонвариантной четырехфазной реакции U (а); функции отклика в точках 6 (б), 33 (в), 21 (г), 3 (д), размещенных на x–y-проекции 3D-модели фазовой диаграммы (е).

сталлизации) должны быть близки (в 3D-модели они равны 665 и 664 К). В [23] эта точка не принадлежит линии E₁e_{max} и немного сдвинута от нее в поле ликвидуса R2, а температуры различаются на 49°: 675 и 626 К (рис. 6а).

ЗАКЛЮЧЕНИЕ

Система LiCl-PrCl₃-KCl рассмотрена в рамках изучения процессов электролитического рафинирования лантаноидов (Ce, Pr, Nd, Sm) в солевых расплавах, в частности в эвтектике LiCl-KCl. Проведено компьютерное моделирование ее изобарной фазовой диаграммы, построенной путем

сборки из 31 поверхности и 14 фазовых областей (остальные 35 поверхностей и 13 фазовых областей вырождены). 3D-модель позволяет конструировать любые произвольно задаваемые изо- и полигоряческие разрезы, рассчитывать температурные границы этапов кристаллизации. Для оценки качества полученной 3D-модели использованы опубликованные экспериментально построенные изотермические разрезы и результаты ДТА по 33 сплавам.

ФИНАНСИРОВАНИЕ РАБОТЫ

Исследование выполнено в соответствии с госзаказом ФГБУН ИФМ СО РАН на 2021–2023 гг. (проект № 0270-2021-0002).

КОНФЛИКТ ИНТЕРЕСОВ

Авторы сообщают об отсутствии конфликта интересов.

ДОПОЛНИТЕЛЬНАЯ ИНФОРМАЦИЯ

Онлайн версия содержит дополнительные материалы, доступные по адресу <https://doi.org/10.31857/S0044457X23600524>.

СПИСОК ЛИТЕРАТУРЫ

1. Басин А.С., Капун А.Б., Мешалкин А.Б. и др. // Журн. неорган. химии. 2008. Т. 53. № 9. С. 1611. <https://doi.org/10.1134/S003602360809026X>
2. Жемчужный С., Рамбах Ф. // Изв. С.-Петербург. политехн. ин-та. 1909. Т. 12. № 1. С. 349.
3. Elchardus E., Laffitte P. // Bull. Soc. Chim. Fr. 1932. V. 51. P. 1572.
4. Бухалова Г.А., Бурлакова В.М. // Журн. неорган. химии. 1966. Т. 11. С. 164.
5. Мусеенко Ж.Г., Акопов Е.К., Паниева Л.А. // Журн. неорган. химии. 1972. Т. 17. № 11. С. 3098.
6. Сафонов А.А., Труш Ф.Ф., Нахшин М.Ю. и др. // Журн. неорган. химии. 1983. Т. 28. С. 1344.
7. Бухалова Г.А., Ягубян Е.С., Мирсянова Н.Н. // Журн. неорган. химии. 1986. Т. 31. С. 279.
8. Korin E., Soifer L. // J. Therm. Anal. 1997. V. 50. P. 347.
9. Adachi A., Katayama Y., Miura T. et al. // J. Power Sources. 1997. V. 68. № 2. P. 348. [https://doi.org/10.1016/S0378-7753\(97\)02587-1](https://doi.org/10.1016/S0378-7753(97)02587-1)
10. Shirai O., Iizuka M., Iwai T. et al. // J. Electroanal. Chem. 2000. V. 490. P. 31. [https://doi.org/10.1016/S0022-0728\(00\)00193-5](https://doi.org/10.1016/S0022-0728(00)00193-5)
11. Laidler J.J., Battles J.E., Miller W.E. et al. // Prog. Nucl. Energy. 1997. V. 31. № 1–2. P. 131. [https://doi.org/10.1016/0149-1970\(96\)00007-8](https://doi.org/10.1016/0149-1970(96)00007-8)
12. Masset P., Konings R.J.M., Malmbeck R. et al. // J. Nucl. Mater. 2005. V. 344. P. 173. <https://doi.org/10.1016/j.jnucmat.2005.04.038>
13. Murakami T., Rodrigues A., Ougier M. et al. // J. Nucl. Mater. 2015. V. 466. P. 502. <https://doi.org/10.1016/j.jnucmat.2015.08.045>
14. Gutknecht T.Y., Fredrickson G.L. Thermal Characterization of Molten Salt Systems. Idaho National Laboratory, 2011. 86 p.
15. Galashev A. Y. // Int. J. Energy Res. 2020. V. 45. № 8. P. 11459. <https://doi.org/10.1002/er.6267>
16. Ding L., Yan Y., Smolenski V. et al. // Sep. Purif. Technol. 2021. V. 279. P. 119683. <https://doi.org/10.1016/j.seppur.2021.119683>
17. Li Z., Tang D., Meng S. et al. // Sep. Purif. Technol. 2021. V. 276. P. 119045. <https://doi.org/10.1016/j.seppur.2021.119045>
18. Kim I.S., Okamoto Y. // Japan Atomic Energy Research Institute JAERI-Research 99-033. 1999. 16 p.
19. Qiao Z., Wang M., Zheng C. et al. // J. Chin. Rare Earth Soc. 1989. V. 7. P. 16.
20. Qiao Z., Wang M., Zheng C. et al. // Acta Metall. Sin. B. 1989. V. 25. P. 234.
21. Gong W., Gaune-Escard M., Rycerz L. // J. Alloys Compd. 2005. V. 396. P. 92. <https://doi.org/10.1016/j.jallcom.2004.12.021>
22. Ghosh S. Thermochemical Studies of Alloys and Molten Halide Salts of Relevance to Pyrochemical Reprocessing of Metallic Fuel. PhD, Diss. Kalpakkam, Tamil Nadu, India. 2016. 201 p.
23. Ghosh S., Ganeshan R., Sridharan R. et al. // Thermo-chim. Acta. 2017. V. 653. P. 16. <https://doi.org/10.1016/j.tca.2017.03.024>
24. Seifert H.J., Sandrock J., Uebach J. // Z. Anorg. Allg. Chem. 1987. V. 555. P. 143. <https://doi.org/10.1002/zaac.19875551215>
25. Seifert H.J. // J. Therm. Anal. Calorim. 2002. V. 67. P. 789. <https://doi.org/10.1023/A:1014341829611>
26. Gaune-Escard M., Rycerz L., Szczepaniak W. et al. // J. Alloys Compd. 1994. V. 204. № 1–2. P. 189. [https://doi.org/10.1016/0925-8388\(94\)90090-6](https://doi.org/10.1016/0925-8388(94)90090-6)
27. Nakamura K., Kurata M. // J. Nucl. Mater. 1997. V. 247. P. 309. [https://doi.org/10.1016/S0022-3115\(97\)00099-8](https://doi.org/10.1016/S0022-3115(97)00099-8)
28. Lutsyk V.I., Vorob'eva V.P. // J. Therm. Anal. Calorim. 2010. V. 101. № 1. P. 25. <https://doi.org/10.1007/s10973-010-0855-0>
29. Воробьева В.П., Зеленая А.Э., Луцыйк В.И. // Журн. неорган. химии. 2021. Т. 66. № 6. С. 798. <https://doi.org/10.31857/S0044457X21060222>
30. Lutsyk V.I., Zelenaya A.E., Zyryanov A.M. // J. Int. Sci. Publ.: Mater. Methods Technol. 2008. V. 2. P. 176.
31. Prince A. Alloy Phase Equilibria. Amsterdam–London–New York: Elsevier Publ. Comp., 1966. 290 p.
32. Райнз Ф. Диаграммы фазового равновесия в металлургии. М.: Гос. научно-технич. изд-во лит-ры по черной и цв. металлургии, 1960. 369 с.
33. Халдояниди К.А. Фазовые диаграммы гетерогенных систем с трансформациями. Новосибирск: ИНХ СО РАН, 2004. 382 с.